

ランダムフォレストを用いた
特許に関する文書データからの
技術適応領域に関する技術抽出

4月18日

富山県立大学 小野田 成晃

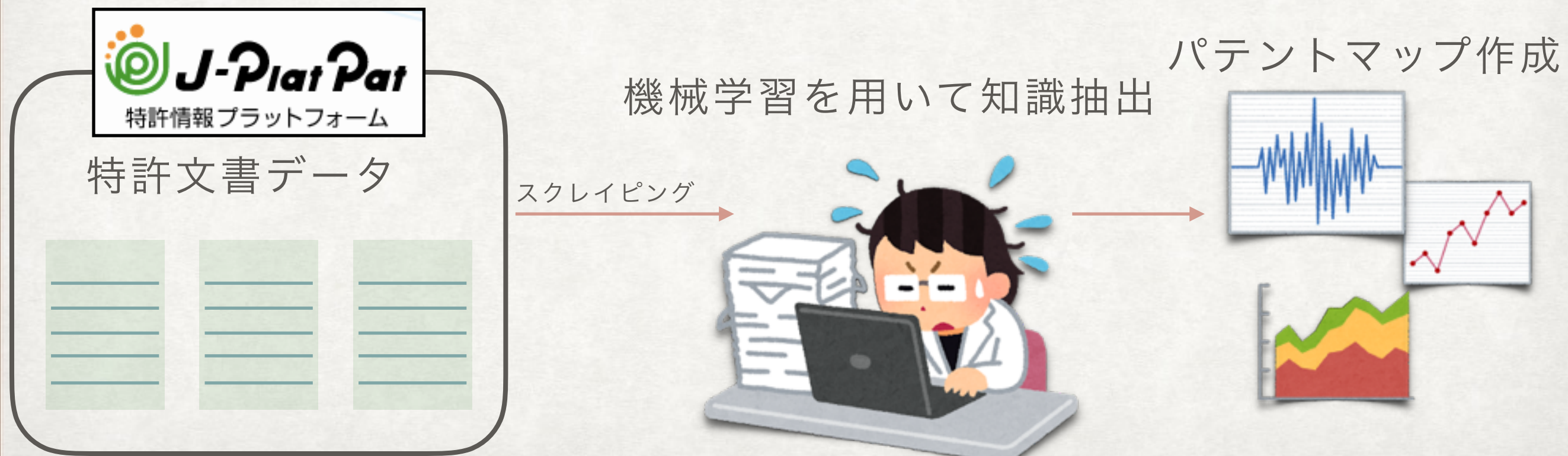
研究目的

技術情報が多様化・複雑化
→ 技術者間での技術傾向に関する情報の共有が難化
そのためにはパテントマップが必要となる

そこで本研究ではWEB上の公開データからパテントマップを作成する手法を提案する

研究概要

研究は以下のプロセスで行われる



パテントマップとは

特許情報の分析ツールの一種

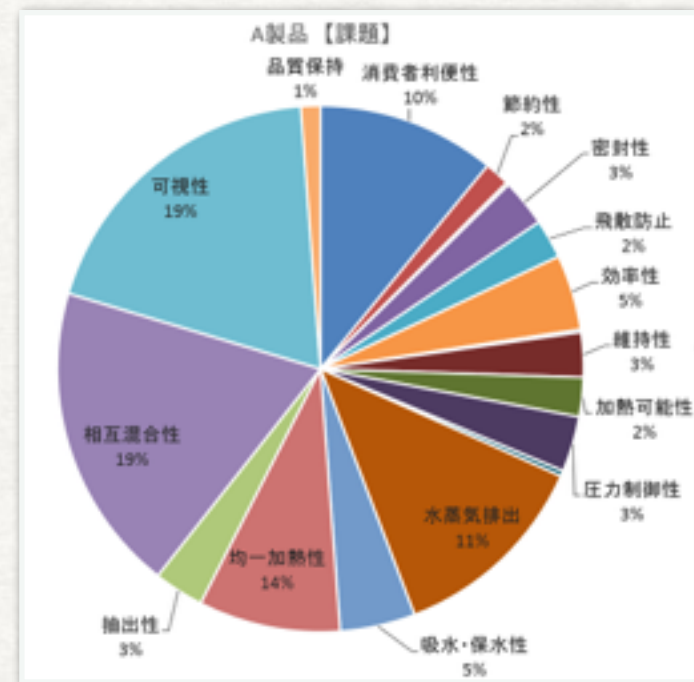
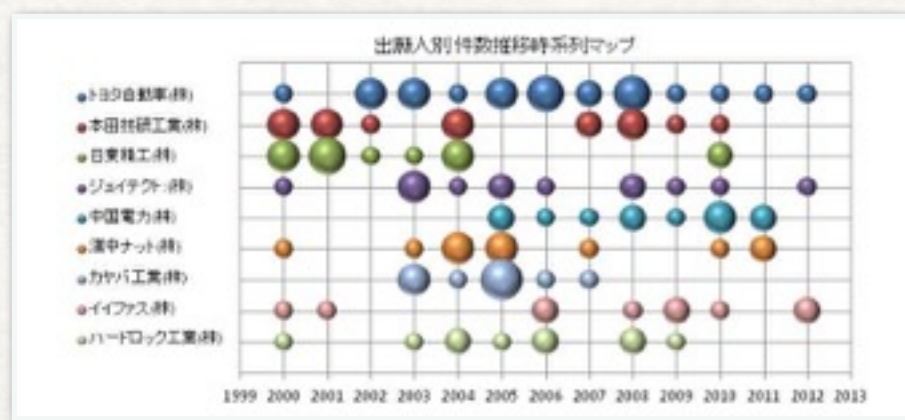
特許の様々な情報に対して2次元マッピングによる可視化を行う

→複雑な技術情報を人が見て知識を抽出できるようにするためのもの

種類は大きく3つに大別される

- ・統計解析型
- ・非統計型
- ・テキストマイニング型

本研究では**テキストマイニング型**を対象とする



* 1, <HTTP://OUKAJINSUGAWA.HATENADIARY.JP/ENTRY/2013/12/01/091803>

* 2, HTTPS://WWW.NIHON-IR.JP/?PAGE_ID=211

* 3, <HTTP://OUKAJINSUGAWA.HATENADIARY.JP/ENTRY/2014/01/24/063703>

機械学習によるパテントマップ作成

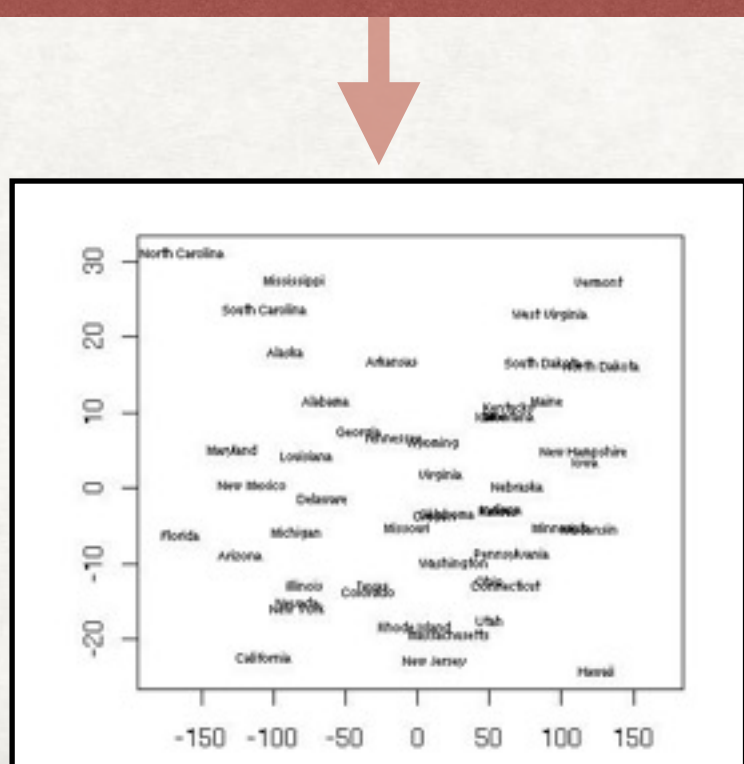
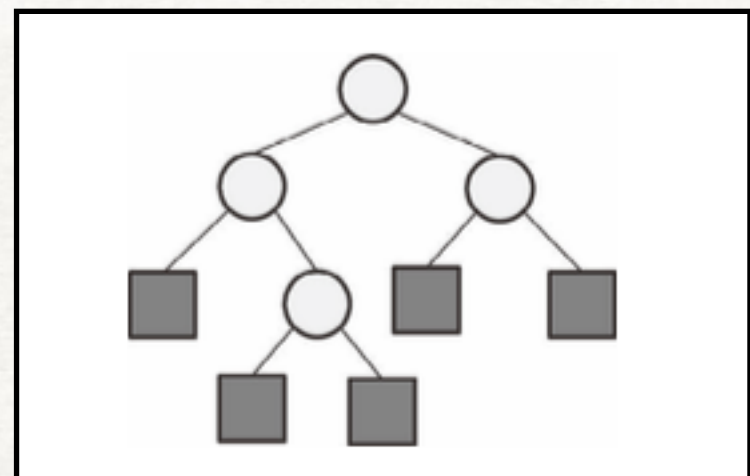
従来：文書間の類似度によって作成

本研究：文書だけでなく分類基準（分野、年代）を考慮
→より意思決定を支援する上で有益な情報を獲得できる

従来

MINAMOTO,0,70,60,90,70,60,80,100,110,80
KASAIRINKAI,70,0,60,80,50,40,20,70,80,60
TONERI,60,60,0,70,50,40,70,80,90,90
HIKARIGAOKA,90,80,70,0,50,60,70,70,80,100
YOYOGI,70,50,50,50,0,40,50,40,40,60
UENO,60,40,40,60,40,0,40,70,80,60
YUMENOSHIMA,80,20,70,70,50,40,0,70,80,60
KOMAZAWA,100,70,80,70,40,70,70,0,40,90
KINUTA,110,80,90,80,40,80,80,40,0,100
SHINOZAKI,80,60,90,100,60,60,60,90,100,0

本研究

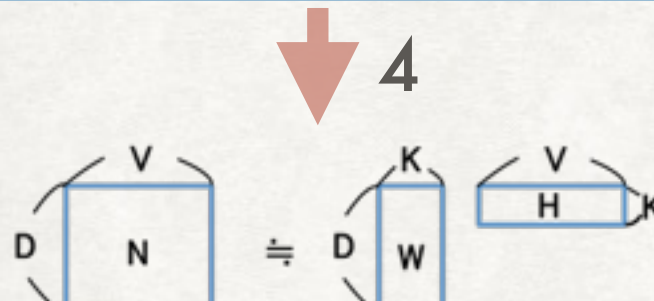


?

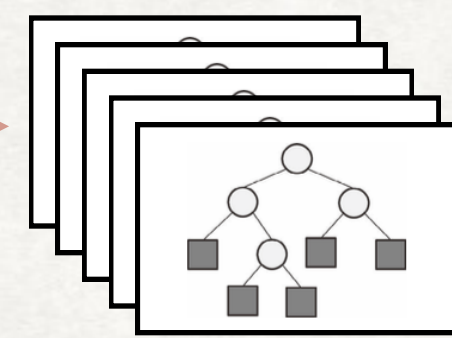


2 ↓ 3

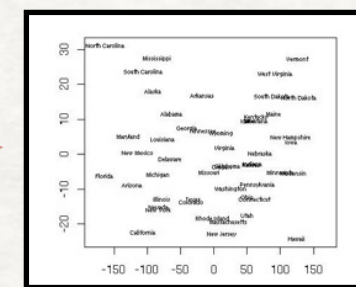
PATENT A,0,70,60,90,70,60,80,100,110,80
 PATENT B,70,0,60,80,50,40,20,70,80,60
 PATENT C,60,60,0,70,50,40,70,80,90,90
 PATENT D,90,80,70,0,50,60,70,70,80,100
 PATENT E,70,50,50,50,0,40,50,40,40,60
 PATENT F,60,40,40,60,40,0,40,70,80,60
 PATENT F,80,20,70,70,50,40,0,70,80,60



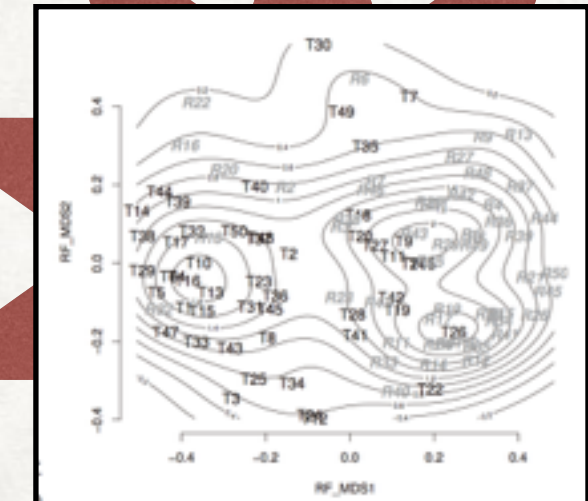
4
5



6



COMPLETE!



非負値因子分解NMF(NON-NEGATIVE MATRIX FACTORIZATION)

行列を基底に基づいた行列の積として近似的に表現する次元縮約手法

BOWはスケールが大きいので当手法で縮約を行う

$$\underset{J}{\mathbf{X}} = \underset{I}{\mathbf{T}} \times \underset{K}{\mathbf{V}}$$

\mathbf{X} のデータ例:

PATENT A,0,70,60,90,70,60,80,100,110,80
PATENT B,70,0,60,80,50,40,20,70,80,60
PATENT C,60,60,0,70,50,40,70,80,90,90
PATENT D,90,80,70,50,60,70,70,80,100
PATENT E,70,50,50,50,0,40,50,40,40,60
PATENT F,60,40,40,60,40,0,40,70,80,60
PATENT F,80,20,70,70,50,40,0,70,80,60

K:基底数, I:データ次元数, J:データサンプル数

ここで $\mathbf{X} \approx \mathbf{T}\mathbf{V}$ となるように近似させる

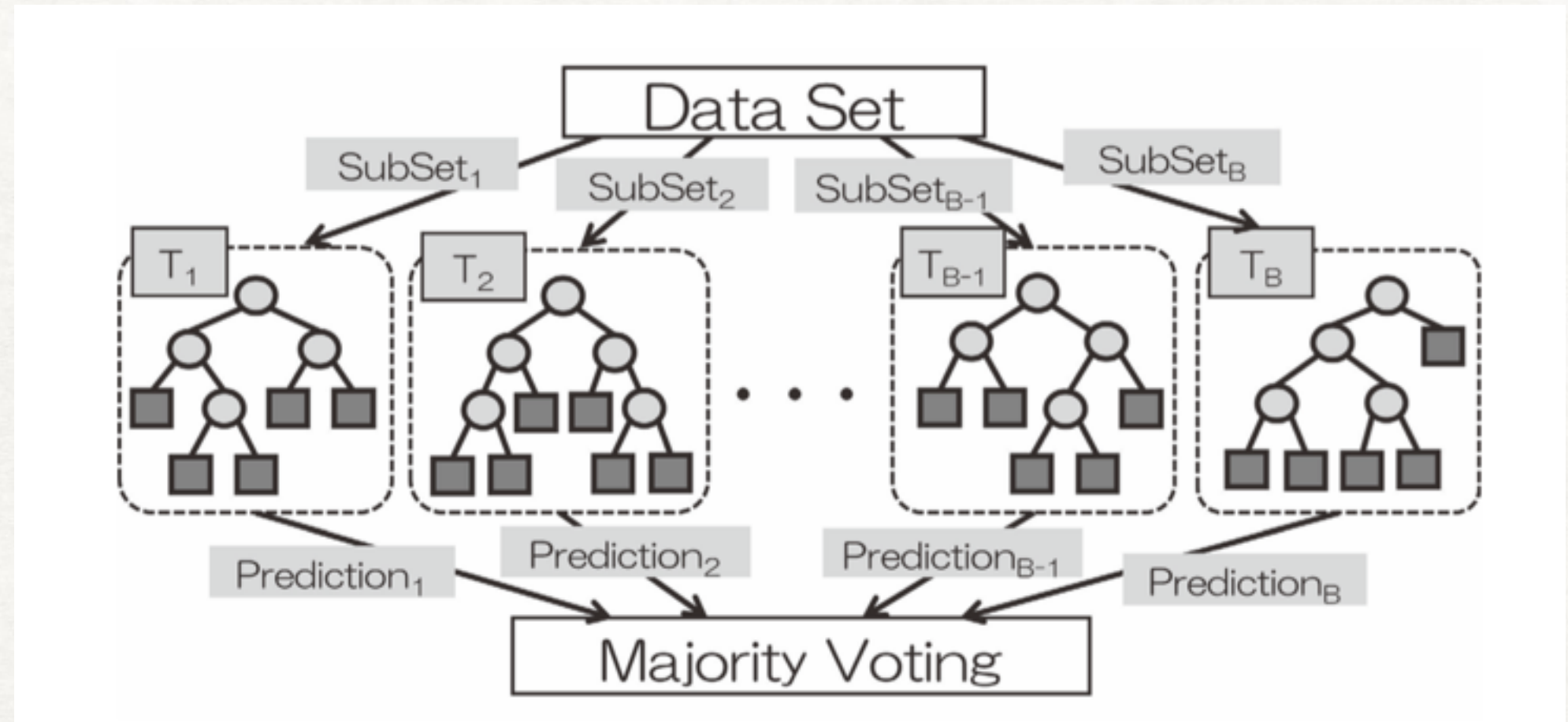
一般的に \mathbf{T}, \mathbf{V} はそれぞれデータの重み、特徴量を表している

本研究では \mathbf{V} をトピック、 \mathbf{T} を重みとする

そして $|\mathbf{X} - \mathbf{TV}|$ の局所最小値を取るような行列に変換

ランダムフォレストRF(決定木)

技術分野を分類対象のクラスとして
NMFによる低次元密行列を元に学習を行う



ここで各決定木が識別結果を出力して正解だった木の個数を特許間の類似度として出力
→これにより単語の頻度だけでなく、クラスを考慮したマッピング可能

多次元尺度構成法MDS(MULTI-DIMENSIONAL SCALING)

比例尺度や間隔尺度等の定量的数値データをマッピングする手法

本研究ではRFからの類似度行列に対して適用

0,70,60,90,70,60,80,100,110,80
70,0,60,80,50,40,20,70,80,60
60,60,0,70,50,40,70,80,90,90
90,80,70,0,50,60,70,70,80,100
70,50,50,50,0,40,50,40,40,60
60,40,40,60,40,0,40,70,80,60
80,20,70,70,50,40,0,70,80,60

$$z_{ij} = -\frac{1}{2} \left(d_{ij}^2 - \sum_{i=1}^n \frac{d_{ij}^2}{n} - \sum_{j=1}^n \frac{d_{ij}^2}{n} + \sum_{i=1}^n \sum_{j=1}^n \frac{d_{ij}^2}{n^2} \right) \quad \text{式A}$$

d_{ij} : 2点*i, j*の距離

式Aから求めた行列Zの固有値ベクトルをマッピングする座標値とする

距離（非類似度）や類似度を求める手法は様々ある

論文では割愛されていたがユークリッド距離、ミンコフスキーダイアゴラス、ピアソン相関係数等が有名

パラメータ	値
森のサイズ: B	50
各木で選択される変数の数	7
NMF の基底数: K	50
NMF の更新回数	100

実験結果

実験は「ロボット」、「テキストマイニング」（以下R,Tと呼ぶ）を対象として計50件分析

- 比較対象として決定木の代わりにコサイン類似度によるマップを表示

表2はNMF適用の特徴量（トピック）とその内訳であるが、

例

表2 NMFの学習結果において重み係数が大きい単語の一例

変数	対応する単語とその重み									
	制御	移動	脚	駆動	接地	障害	位置	動作	衝突	歩行
V31	49.28	49.04	35.96	26.74	22.15	14.30	12.87	11.70	11.44	10.89
	設定	指令	軌道	車輪	旋回	関節	追隨	計測	スイング	車体
	9.98	8.88	8.69	8.30	8.30	7.39	6.96	6.94	6.72	6.23
V20	光	クリーニング	集	位置	ミラー	装置	EUV	搬送	発生	回転
	86.79	40.27	70.96	69.19	52.38	43.16	31.96	26.01	18.49	13.89
	反応	クリーニングチャンバー	ガス	寿命	物質	汚染	交換	付着	対応	反射
V46	8.06	10.43	6.92	4.43	4.22	4.11	3.61	3.44	3.25	2.80
	情報	コミュニケーション	タイム	ライン	抽出	ログ	ライフ	商品	提供	関連
	142.97	36.73	28.29	27.80	23.93	22.97	22.97	21.35	19.89	19.19
V40	収集	データベース	検出	ユーザ	個人	端末	要素	蓄積	取得	DB
	17.91	11.61	16.65	16.19	13.29	12.53	10.69	7.53	6.34	5.41
	請求	コンテンツ	結果	情報	要因	クエリ	デバイス	ユーザ	記載	フォーマット
V37	58.47	28.72	48.53	45.99	45.84	43.30	28.93	28.23	27.97	21.08
	統計	レイティング	選択	アイテム	広告	スコア	販売	システム	ランキング	モジュール
	27.85	9.85	17.60	15.32	14.56	12.48	9.85	9.55	8.65	8.39
V37	情報	グルーピング	文書	データ	ユーザ	検索	オブジェクト	端末	登録	サーバ
	96.86	9.99	41.03	28.97	20.27	11.76	9.96	8.96	8.37	6.87
	管理	プレゼンテーション	ファイル	プログラム	送信	保存	グラフ	サマリー	企画	取得
	6.84	4.41	4.40	3.47	3.31	3.09	2.94	2.92	2.66	2.55

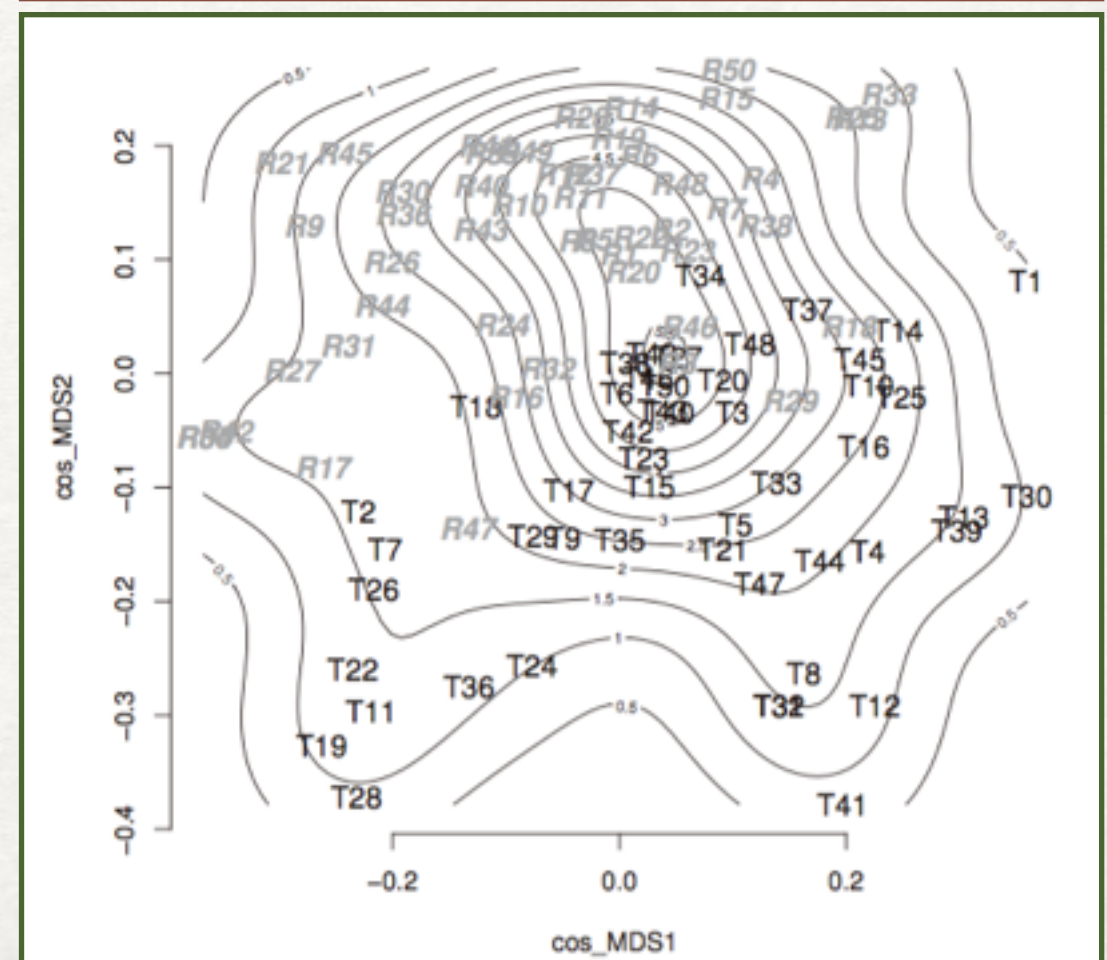
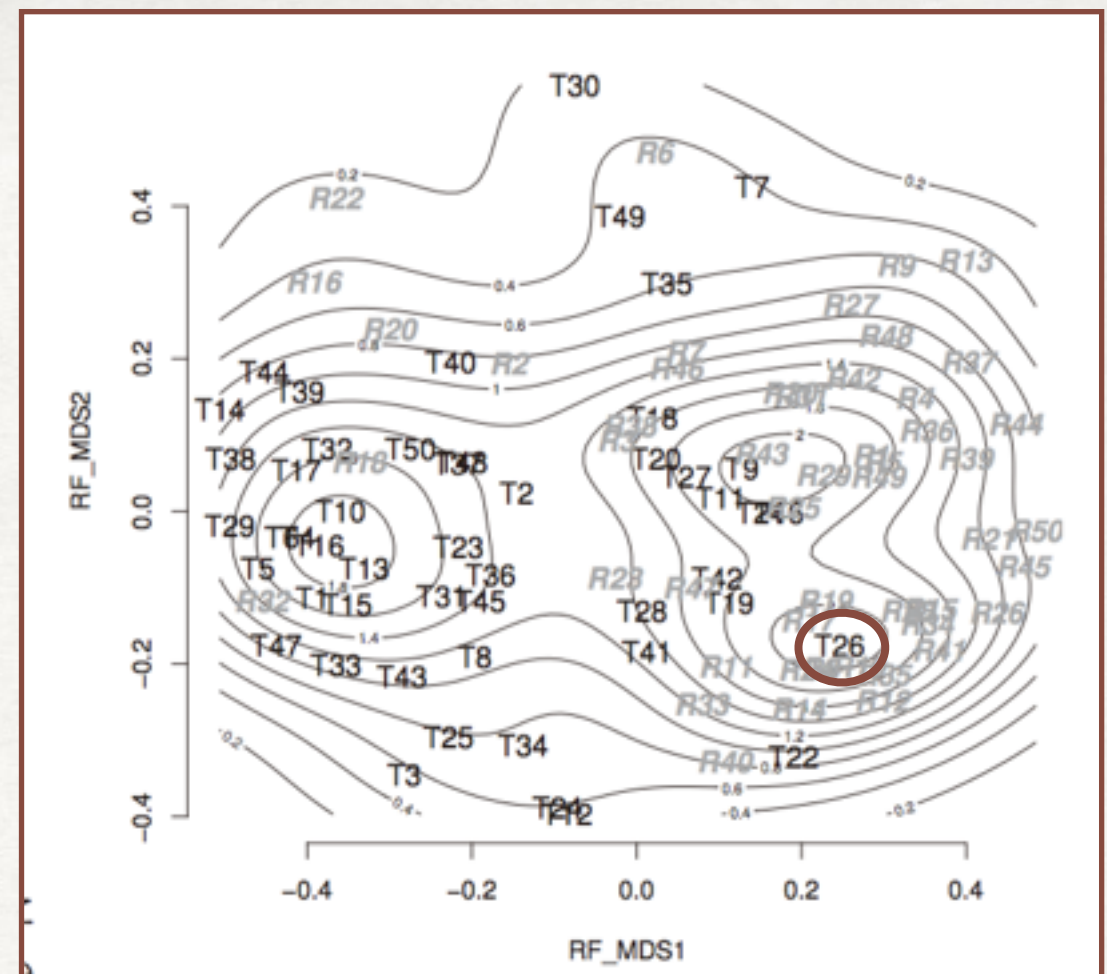
実験結果

- ・上図が本研究におけるパテントマップ
- ・下図がMDSとコサイン類似度を用いたパテントマップ

上図は右にR、左にTが密集している

- ・Rはさらに上と下に領域が別れている
=>Rは機械や制御等の多様分野からなることを表している
- ・T26はT分野であるがR分野への応用が期待できる有益な個体であると解釈できる

- ・下図は領域は分類できているが、密度が一箇所に集中しており異分野間の適用領域が把握が困難



まとめ

- ・本研究により特許に関するデータの視覚的な理解支援を実現
- ・将来的には機械学習や計算機統計学をベースにした技術情報分析の期待は高まる可能性

課題

- ・ネットワーク分析、係り受け解析等の別種のマップ化
- ・文書以外の情報とのデータ統合

→この研究のクラスを「技術分野」から「**特許の価値**」におきかえれば特許評価モデルも作成可能？